

05.4; 12

© 1991

НАБЛЮДЕНИЕ БИФУРКАЦИИ КОЛЕБАТЕЛЬНОЙ МОДЫ  
ЛЕВИТИРУЮЩЕГО (ПОДВЕШЕННОГО) НАД (ПОД)  
ВТСП ПОСТОЯННОГО МАГНИТА

О.И. Горский, В.А. Дзензерский

Исследование взаимодействия левитирующего постоянного магнита с ВТСП в переменном магнитном поле проводилось в работах [1-3]. Обнаруженное в [1] явление резонанса колебаний описывается в рамках феноменологической модели, развитой в [2]. В [3] отмечается, что анализ боковых колебаний магнита над ВТСП показывает наличие хаотических колебаний, возникающих путем каскада бифуркаций удвоения периода. Эксперименты в [1-3] проводились с магнитами, расположенными на небольшой ( $\sim 1$  мм) высоте над ВТСП пластиной.

При исследованиях колебаний левитирующего на большой ( $\sim 15$  мм) высоте постоянного магнита нами было обнаружено явление резонансного по спектру частот перехода крутильной моды с небольшим инкрементом во вращательную моду. Переход крутильных колебаний во вращение происходит бифуркационным путем.

Система левитации постоянного  $Nd-Fe-B$  магнита 1 диаметром 8 мм, толщиной 5 мм показана на рис. 1, а. Постоянный магнит 2 частично разгружает вес левитирующего магнита, который находится над ВТСП  $Y-Ba-Cu-O$  пластиной 3 диаметром 80 мм, толщиной 12 мм. Круглая катушка переменного тока 4 располагается под ВТСП пластиной и запитывается от генератора с частотой 20–100 Гц.

В системе подвешивания, показанной на рис. 2, б (обозначения те же), имеют место аналогичные явления.

Различные моды упругих колебаний можно наблюдать во всей области равновесия по вертикальной оси. Частота крутильных колебаний может быть оценена по формуле [1]

$$f = \frac{1}{2\pi} \sqrt{\frac{k}{I_1}},$$

где  $k$  – упругая постоянная колебательной моды,  $I_1$  – момент инерции левитирующего магнита относительно оси  $oZ$ .

Для  $k = 3.5$  дин см/рад [1] и  $I_1 = 0.32 \cdot 2 \text{ см}^2$  можно получить  $f \approx 0.5$  1/с крутильные колебания такого порядка наблюдались в опыте при частоте переменного магнитного поля  $\sim 35$  Гц. Однако, в отличие от [1], крутильные колебания спустя несколько периодов переходили во вращательное движение. При частоте

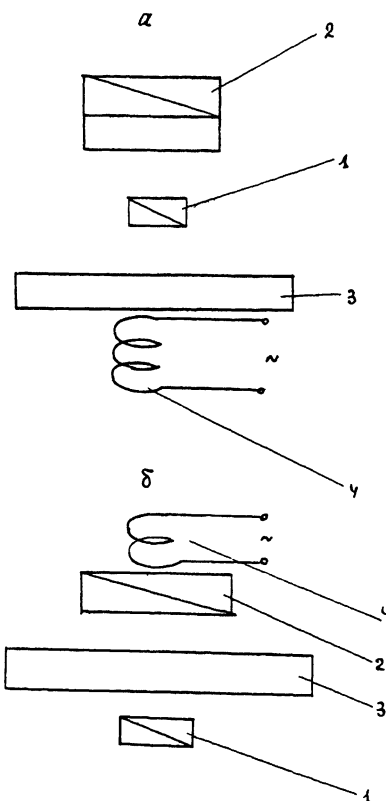


Рис. 1. Схема опыта. а - схема левитации постоянного магнита, б - схема подвешивания постоянного магнита.

переменного магнитного поля  $\sim 29$  Гц частота крутильной моды  $\varphi$  составляла  $\sim 10$  Гц (с дальнейшим переходом во вращение).

С уменьшением высоты подвешивания  $h$  увеличивается время перехода колебательной моды во вращательную (рис. 2).

Система левитации магнита является аксиально-симметричной и не должна иметь вращения. Механические хаотические колебания [3] показывают, что либо в частотном спектре намагниченности сверхпроводника имеется непрерывное распределение (которое не дает модель критического состояния Бина или Кима-Андерсона), либо колебательные и поступательные моды не независимы, хотя резонансы каждой моды могут быть разнесены по частоте. В нашем опыте частота генератора при резонансе прецессии  $\alpha$  составляла  $\sim 24$  Гц. В предположении малости нутаций  $\beta$  и прецессий можно записать лагранжиан (с точностью  $O(\alpha^2, \beta^2, \alpha\beta)$ ) левитирующего магнита

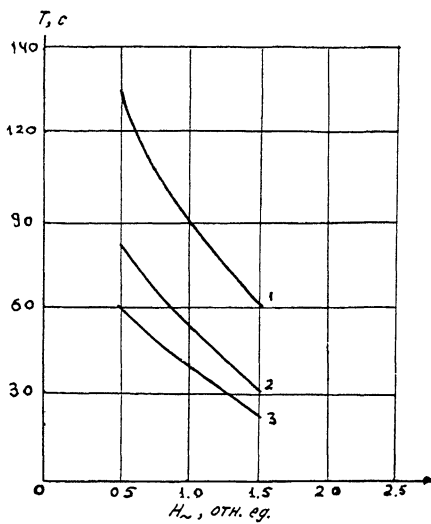


Рис. 2. Полукачественная зависимость времени перехода колебаний во вращение от переменного магнитного поля  $H_{\sim}$ : 1 -  $h = 5$  мм, 2 -  $h = 10$  мм, 3 -  $h = 15$  мм.

$$L = \frac{I_1 \dot{\varphi}^2}{2} + \frac{I_2 \beta^2}{2} - \lambda \beta \cos^2 \varphi, \quad (1)$$

где  $\lambda = \frac{q \rho_0^3}{16 \pi h^2} \mu_0 M(t)$ ,  $q$  - магнитный заряд левитирующего магнита,  $\rho_0$  - радиус магнита,  $M(t)$  - намагниченность ВТСП пластины в переменном поле  $H_{\sim}$ ;

$$M(t) = H_{\sim} \cos \omega t + \frac{H_{\sim}^2}{4 \pi j_c \alpha} \cos \omega t + \sum_{k=1,3} \beta_k \sin(2k+1)\omega t,$$

$$\beta_k = - \frac{H_{\sim}^2}{8 \pi^2 j_c \alpha (k^2 - 1/4)(k + 3/2)},$$

$\alpha$  - толщина пластины,

$$\mu_0 = 4\pi \cdot 10^{-7} 2 \text{ Н/м.}$$

Выражение (1) получено для магнитного монополя, левитирующего на большой высоте ( $h \gg \rho_0$ ). Пластина ВТСП находится в переменном магнитном поле  $H_x(t)$ , параллельном ее поверхности.  $H_x(t) = H_{\sim} \cos \omega t$ . При выводе (1) предполагалось, что магнит левитирует, поэтому постоянная составляющая намагничен-

ности  $M_{const}$  не рассматривалась. Из уравнений движения левитирующего магнита можно увидеть, что точка неустойчивого равновесия (точка бифуркации), в которой сила, действующая в полярном направлении, равна нулю, существует и  $\varphi = \frac{\pi}{2}$ . По достижении точки неустойчивого равновесия свободный магнит может иметь случайное направление вращения (ситуация, сходная с подталкиваемым физическим маятником).

При отсутствии ВТСП пластины уравнение движения для  $\varphi$  имеет вид:

$$\varphi'' + \omega_0^2 \beta \cos \omega t \sin 2\varphi = 0, \quad \omega_0^2 = \lambda/I, \quad (2)$$

В [4] показано, что для подобного уравнения без диссиляции

критическое значение параметра  $\rho = \frac{\omega_0^2 \beta}{\pi \omega^2} \geq 1$  определяет об-

ласть турбулентного движения (свободный магнит, расположенный на ровной поверхности, хаотически вращается в переменном магнитном поле при любой частоте генератора). Если  $\rho$  определяет область периодических движений, то с увеличением  $\omega_0$  при  $H_n = const$  должен уменьшиться критический угол  $\beta$ . По-видимому, этим объясняется увеличение времени переходного процесса с уменьшением  $h$  (рис. 2).

Этот вывод может иметь место при увеличении  $H_n$ ,  $h = const$  (рис. 2). Для определения спектра колебательной моды  $\varphi$  уравнения движения должны быть проанализированы строго.

### Список литературы

- [1] Williams R., Matey J.R. // Appl. Phys. Lett. 1988. V. 52(S). P. 751-753.
- [2] Немошканенко В.В., Иванов М.А., Клименко Г.А. // Препринт ИМФ АН УССР. Киев, 1989. с. 12.
- [3] Moon F.C. // Phys. Lett. A. 1988. V. 132 (S). P. 249-252.
- [4] Заславский Г.М. Проблемы нелинейных и турбулентных процессов в физике, т. 2. Киев: Наукова думка, 1985. С. 41-50.

Поступило в Редакцию  
5 декабря 1990 г.